



Développer des **outils de calcul** **de structures** avec Excel selon les Eurocodes

Roman Saint-Hilaire

EDITIONS

LE MONITEUR

Sommaire

Avant-propos	IX
Chapitre 1 • Les Eurocodes	1
1. Un programme fédérateur	1
Le CEN à l'origine du programme	1
Des normes pluridisciplinaires	1
Une base commune pour une collaboration internationale	3
Des normes plus précises mais également plus complexes	4
2. Une information ad hoc	4
Des références uniques	4
Une documentation structurée	7
Chapitre 2 • Excel : un outil dédié au calcul	15
1. Un logiciel performant	15
2. Une interface intuitive	16
L'environnement de travail	18
Des données multiples et hétérogènes	19
3. Intégrer une formule	20
Chapitre 3 • Les fonctions intégrées	23
1. Appeler une fonction	23
2. Les fonctions de calcul	25
Les fonctions SOMME et MOYENNE	25
Les fonctions MIN et MAX	27
La fonction RACINE	27
La fonction PUISSANCE	28
3. Les fonctions de recherche	29

4. Les fonctions trigonométriques	31
5. La logique	32
Les booléens et les opérateurs de comparaison	32
Les fonctions ET et OU	34
La fonction SI	34
6. La gestion des erreurs	36
 Chapitre 4 • Les outils de mise en forme	39
1. La mise en forme	39
Ajuster les dimensions des cellules	40
Insérer ou supprimer des cellules	40
Fusionner des cellules	41
Ajuster l'alignement des cellules	42
Ajouter des bordures	42
Enrichir le contenu des cellules	43
2. Les graphiques	44
Créer un tableau de données	44
Générer un graphique	46
Ajouter des légendes	48
 Chapitre 5 • Les macros avec VBA	51
1. L'onglet Développeur	51
2. Enregistrer, afficher et exécuter une macro	52
3. Affecter une macro à un élément de formulaire	56
4. Créer une fonction personnalisée	59
 Chapitre 6 • Les bonnes pratiques	63
1. Ne pas confondre vitesse et précipitation	63
2. Ne pas s'éparpiller	64
3. Être explicite	67
Identifier clairement les normes utilisées	67
Lister les hypothèses de calcul	69
Rester cohérent avec les symboles et notations des Eurocodes	71
Choisir judicieusement les unités	74
Maintenir l'historique des modifications	77
4. Construire une interface facile d'utilisation	78
Préférer une interface intuitive à une documentation explicite	78
Privilégier la sobriété : le principe KISS	78

Faciliter la lecture des données : formats de cellules et mises en forme conditionnelles	81
Ne pas négliger la mise en page	87
5. Garantir la validité et l'intégrité des données	93
Restreindre la saisie des données	93
Protéger son tableur	99
6. Garantir la fiabilité de son tableur	101
Multiplier les tests	101
Partager son tableur	102
Chapitre 7 • Mise en pratique	103
1. Calcul de la section d'armatures d'une semelle de fondation (EC2)	103
Présentation de l'outil	103
Références normatives	104
Hypothèses de calcul	104
Données d'entrée	105
Validation des données	107
Implémentation des calculs	108
Mise en page et protection	111
Tests et vérifications	111
2. Détermination des accélérations sismiques de calcul (EC8)	112
Présentation de l'outil	112
Normes utilisées	113
Hypothèses de calcul	113
Données d'entrée	114
Validation des données	119
Implémentation des calculs	120
Mise en page et protection	123
Tests et vérifications	124
3. Vérification d'un poteau en acier (EC3)	125
Présentation de l'outil	125
Références normatives	125
Hypothèses de calcul	126
Données d'entrée	126
Validation des données	129
Implémentation des calculs	130
Mise en page et protection	135
Tests et vérifications	136
4. Calcul de l'enrobage nominal (EC2)	137
Présentation de l'outil	137
Références normatives	137

Hypothèses de calcul.....	138
Données d'entrée.....	139
Validation des données.....	144
Implémentation des calculs.....	146
Mise en page et protection.....	153
Tests et vérifications.....	155
5. Calcul de la charge de neige sur une toiture à versant unique (EC1).....	156
Présentation de l'outil.....	156
Références normatives.....	156
Hypothèses de calcul.....	157
Données d'entrée.....	157
Validation des données.....	159
Implémentation des calculs.....	160
Mise en page et protection.....	166
Tests et vérifications.....	167
6. Vérification de la résistance en flexion d'une poutre en bois (EC5).....	168
Présentation de l'outil.....	168
Références normatives.....	169
Hypothèses de calcul.....	169
Données d'entrée.....	169
Validation des données.....	173
Implémentation des calculs.....	174
Mise en page et protection.....	179
Tests et vérifications.....	181
Répertoire des fonctions Excel les plus utiles.....	183
Raccourcis clavier des opérations les plus courantes.....	185

Avant-propos

De par sa simplicité et sa flexibilité, Excel est un outil parfaitement adapté aux méthodes de calcul présentées dans les normes Eurocodes.

Cependant, il arrive régulièrement, notamment en milieu professionnel, de rencontrer des tableurs inutilement compliqués, difficiles d'utilisation et comportant même parfois des erreurs de calcul.

L'objectif de cet ouvrage est de vous aider à créer des tableurs ergonomiques, fiables et sécurisés.

À propos de l'ouvrage

La méthode utilisée pour la rédaction de ce document est progressive. On y retrouve tout d'abord les éléments de langage et les notions fondamentales propres à Excel. Puis, à l'aide de nombreux cas d'usage, on étudie toutes les étapes nécessaires à l'obtention d'un outil de calcul efficace et fonctionnel.

L'ouvrage se compose de sept chapitres qui s'organisent de la façon suivante :

- Dans le premier chapitre, on rappelle ce que sont les Eurocodes, leur origine et leur fonctionnement.
- Les quatre chapitres suivants sont consacrés aux fondamentaux du logiciel Excel. À travers de nombreux exemples, on y découvre les fonctionnalités essentielles à la création d'outils de calcul : l'utilisation des formules et fonctions, les outils de mise en forme et les graphiques ainsi qu'une brève introduction à la programmation VBA.
- Le sixième chapitre présente un ensemble de règles de conception et de bonnes pratiques à appliquer rigoureusement afin de produire des feuilles de calcul de qualité professionnelle.
- Enfin, le dernier chapitre permet de mettre en œuvre ces bonnes pratiques à travers la réalisation détaillée de plusieurs tableurs de calcul aux Eurocodes.

Pour tirer le meilleur parti de cet ouvrage, il est recommandé de reproduire intégralement les fichiers de calcul donnés en exemple. Rien ne remplace la pratique pour maîtriser un logiciel. Les tableurs présentés dans cet ouvrage servent de base, mais ils peuvent tout autant être améliorés et adaptés selon vos besoins spécifiques.

C'est en pratiquant activement que l'on identifie ses propres erreurs de conception et que l'on renforce sa compréhension des principes sous-jacents.

Dans le développement logiciel, il existe un principe appelé **SRP** (*Single Responsibility Principle* ou Principe de Responsabilité Unique). Ce principe suggère que chaque élément de code devrait être responsable d'une seule tâche ou d'une seule fonction.

Ainsi, au lieu d'essayer de tout inclure dans une feuille Excel, il est préférable de diviser le calcul dans plusieurs classeurs incluant chacun, un ou plusieurs tableurs, qui ont des responsabilités clairement définies.

Cela permet, d'une part, de rendre les tableurs plus faciles à comprendre et à utiliser et, d'autre part, de réduire les risques d'erreurs.

Si nous repartons de l'exemple donné, nous pouvons ainsi séparer les fonctionnalités de la manière suivante :

- un classeur pour le calcul de l'enrobage nominal ;
- un classeur pour le calcul du comportement au feu ;
- un classeur pour les vérifications structurelles en flexion simple, comportant :
 - un tableau pour les sections d'armatures aux ELU ;
 - un tableau pour chaque vérification ELS (contrainte, fissuration et flèche) ;
- le même classeur mais pour les vérifications structurelles en flexion composée ;
- un classeur dédié à la vérification de la fissuration dans le cas des réservoirs, avec un tableau pour la flexion simple et un autre pour la flexion composée.

Ainsi les responsabilités sont bien définies, chaque tableur est responsable d'un seul type de vérification (figure 6.2).

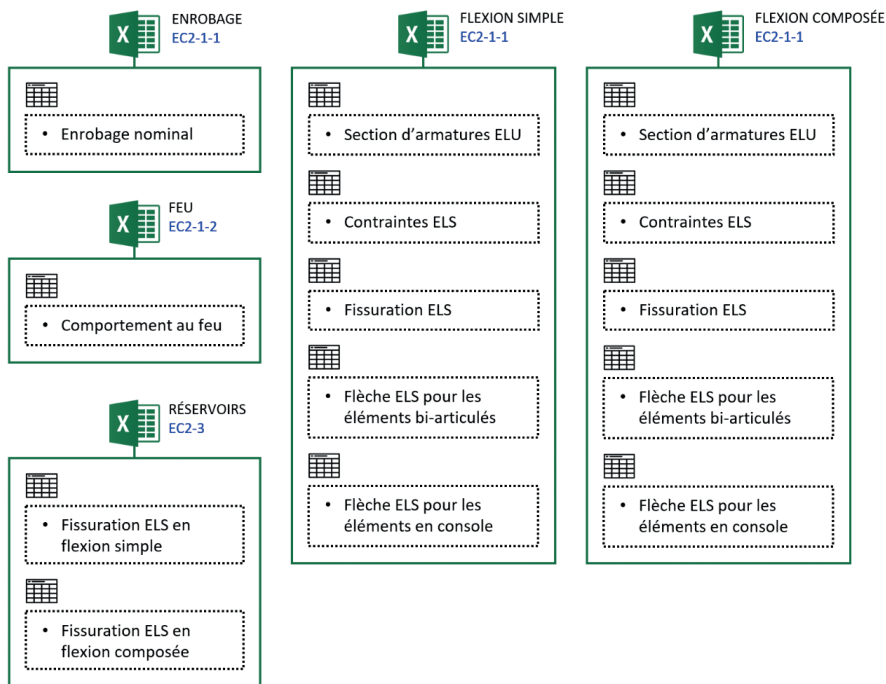


Figure 6.2

3. Être explicite

Identifier clairement les normes utilisées

Il est crucial d'identifier les différentes sources d'informations utilisées lors de la création d'un tableur de calcul afin de faciliter la communication et la compréhension mutuelle des utilisateurs.

Les **documents de référence** doivent être clairement identifiés à l'ouverture du tableur, ces informations doivent être placées à proximité du titre. *A minima*, les informations suivantes doivent être affichées :

- la référence de la norme Eurocodes ;
- la référence de l'annexe nationale, si elle intervient dans les calculs ;
- les références aux amendements éventuels ;
- les références externes aux Eurocodes : il peut s'agir d'une norme nationale, d'un arrêté, etc.

Les **dates de parution** des normes doivent systématiquement être mentionnées.

Voici deux exemples :

- cas d'un tableur de calcul d'un poteau en bois :
NF EN 1995-1-1 – Novembre 2005
NF EN 1995-1-1/NA – Mai 2010
NF EN 338 – Juillet 2016
- cas d'un tableur de calcul de charge de vent :
NF EN 1991-1-4 – Novembre 2005
NF EN 1991-1-4/NA – Mars 2008
NF EN 1991-1-4/NA/A1 – Juillet 2011
NF EN 1991-1-4/NA/A2 – Septembre 2012
NF EN 1991-1-4/NA/A3 – Avril 2019

Par ailleurs, les références des **règles d'application, formules, figures et tableaux** utilisés doivent systématiquement être indiquées.

Ainsi les utilisateurs sont aidés dans la saisie des données d'entrée et peuvent plus facilement vérifier la cohérence entre les formules utilisées dans le tableur et celles prescrites dans la norme.

Cette bonne pratique facilite les relectures et mises à jour ultérieures du tableur. Lorsqu'une nouvelle version de la norme est publiée, il est beaucoup plus simple de vérifier et d'actualiser les calculs en s'appuyant sur les références appropriées.

Prenons un exemple concret : le tableur de la figure 6.3 permet de vérifier un tirant en acier. On retrouve en vert les données d'entrée à saisir.

À première vue, il est compliqué de comprendre ce à quoi correspondent les données d'entrée et les résultats. Remédions à cela en ajoutant les références normatives.

Les calculs sont effectués selon la norme NF EN 1993-1-1. L'annexe nationale n'est pas utilisée. Aucun amendement n'est utilisé. Aucune autre norme n'est utilisée (figure 6.4).

K18									
	A	B	C	D	E	F	G	H	I
1	Vérification d'une barre en traction simple								
2									
3	gamma_m0	1							
4	gamma_m2	1,25				t ≤ 40 mm			
5	n_ed	900	kN			acier	f _y (MPa)	f _u (MPa)	
6	a	0,00538	m ²			S 235	235	360	
7	a_net	0,00461	m ²			S 275	275	430	
8	t	10,7	mm			S 355	355	490	
9	acier	S 235							
10									
11	f _y	235	MPa			40 mm < t ≤ 80 mm			
12	f _u	360	MPa			acier	f _y (MPa)	f _u (MPa)	
13	n_plrd	1264	kN			S 235	215	360	
14	n_urd	1195	kN			S 275	255	410	
15	n_trd	1195	kN			S 355	335	470	
16	n_ed / n_trd	0,7532							

Figure 6.3

Tirant en acier – Tableur initial

K19									
	A	B	C	D	E	F	G	H	I
1	Vérification d'une barre en traction simple								
2	NF EN 1993-1-1 - Octobre 2005								
3									
4	gamma_m0	1		6.1 (1)		Extrait du Tableau 3.1			
5	gamma_m2	1,25		6.1 (1)		t ≤ 40 mm			
6	n_ed	900	kN			acier	f _y (MPa)	f _u (MPa)	
7	a	0,00538	m ²	6.2.2.1		S 235	235	360	
8	a_net	0,00461	m ²	6.2.2.2		S 275	275	430	
9	t	10,7	mm			S 355	355	490	
10	acier	S 235							
11						Extrait du Tableau 3.1			
12	f _y	235	MPa	Tableau 3.1		40 mm < t ≤ 80 mm			
13	f _u	360	MPa	Tableau 3.1		acier	f _y (MPa)	f _u (MPa)	
14	n_plrd	1264	kN	(6.6)		S 235	215	360	
15	n_urd	1195	kN	(6.7)		S 275	255	410	
16	n_trd	1195	kN	6.2.3 (2)		S 355	335	470	
17	n_ed / n_trd	0,7532		(6.5)					

Figure 6.4

Tirant en acier – Ajout des références à la norme

Si le résultat convient, il suffit de paramétrer l'impression papier ou pdf, le format et l'orientation, et de cliquer sur le bouton **Imprimer** (figure 6.35).

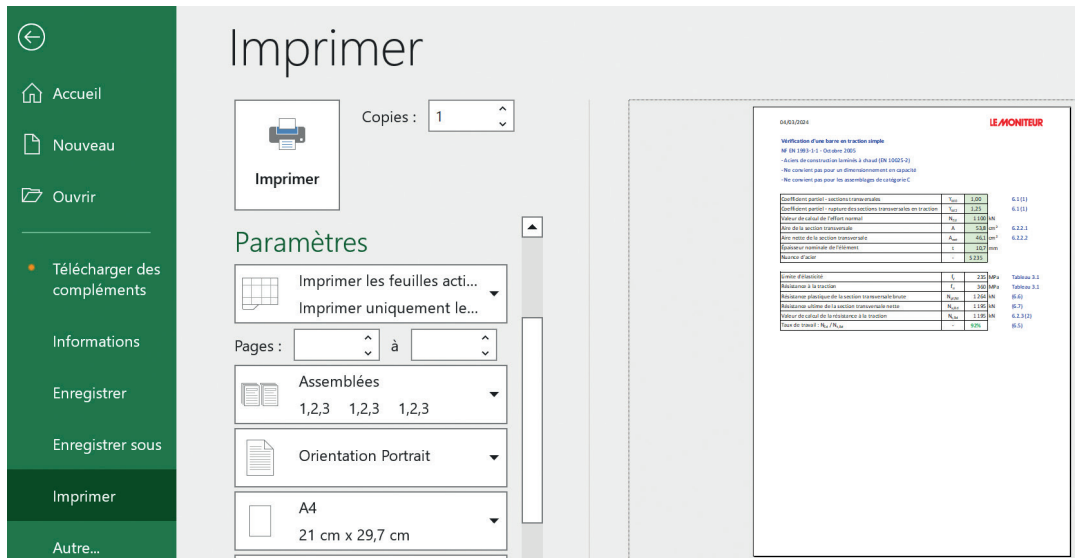


Figure 6.35

Tirant en acier – Paramètres d'impression

5. Garantir la validité et l'intégrité des données

« *Never trust user input* » (« Ne jamais faire confiance à la saisie de l'utilisateur ») ; cet adage suggère que toute donnée provenant de l'utilisateur d'une application doit être vérifiée de manière approfondie avant d'être utilisée ou traitée par le programme.

Nous pouvons appliquer ce principe pour la conception de tableurs de calcul aux Eurocodes.

Restreindre la saisie des données

Dans les paragraphes précédents, nous avons établi un ensemble de règles de conception qui permettent d'aboutir à un tableur explicite, facile à utiliser et à interpréter. Mais le risque d'erreur de saisie n'est, pour le moment, pas encore géré.

Reprenons le tableur de vérification d'un tirant en acier. Un utilisateur inexpérimenté pourrait, par exemple, saisir une valeur négative d'effort normal car, pour lui, un effort de traction doit être négatif. Il pourrait également renseigner une nuance d'acier qui n'existe pas (ex. : « R 210 »), rendant ainsi les résultats inexploitable. Excel n'étant

pas capable de retrouver la nuance d'acier « R 210 » dans le Tableau 3.1, une erreur « #N/A » s'affiche (figure 6.36).

	A	B	C	D	E	F	G	H	I
1	Vérification d'une barre en traction simple								
2	NF EN 1993-1-1 - Octobre 2005								
3	- Aciers de construction laminés à chaud (EN 10025-2)								
4	- Ne convient pas pour un dimensionnement en capacité								
5	- Ne convient pas pour les assemblages de catégorie C								
6									
7	Coefficient partiel - sections transversales					γ_{M0}	1,00		6.1 (1)
8	Coefficient partiel - rupture des sections transversales en traction					γ_{M2}	1,25		6.1 (1)
9	Valeur de calcul de l'effort normal					N_{Ed}	-520	kN	
10	Aire de la section transversale					A	53,8	cm ²	6.2.2.1
11	Aire nette de la section transversale					A_{net}	46,1	cm ²	6.2.2.2
12	Épaisseur nominale de l'élément					t	10,7	mm	
13	Nuance d'acier					-	R 210		
14									
15	Limite d'élasticité					f_y	#N/A	MPa	Tableau 3.1
16	Résistance à la traction					f_u	#N/A	MPa	Tableau 3.1
17	Résistance plastique de la section transversale brute					$N_{pl,Rd}$	#N/A	kN	(6.6)
18	Résistance ultime de la section transversale nette					$N_{u,Rd}$	#N/A	kN	(6.7)
19	Valeur de calcul de la résistance à la traction					$N_{t,Rd}$	#N/A	kN	6.2.3 (2)
20	Taux de travail : $N_{Ed} / N_{t,Rd}$					-	#N/A		(6.5)

Figure 6.36

Tirant en acier – Erreurs de saisie

Comment empêcher de telles erreurs de se produire ?

On pourrait ajouter du texte pour donner des indications sur les données attendues. Le problème est que rien n'oblige l'utilisateur à lire ces commentaires. Par ailleurs cela ajouterait de la complexité dans l'utilisation de l'outil, ce qui va à l'encontre du principe KISS abordé précédemment.

La solution préconisée sous Excel est l'utilisation des « **validations de données** ».

Avant de mettre en place ce process, il faut prendre le temps d'identifier clairement, pour chaque donnée d'entrée, le ou les critères de validation.

Par exemple, lorsqu'un coefficient de sécurité est utilisé pour diviser une résistance théorique, il doit, par définition, être supérieur ou égal à 1. Ainsi les coefficients γ_{M0} et γ_{M2} seront considérés comme valides si la valeur saisie est un nombre décimal supérieur ou égal à 1.

Chapitre 7

Mise en pratique

Dans les paragraphes qui suivent, on va réaliser six tableurs de calcul selon les Eurocodes, leur niveau de difficulté sera croissant :

- Calcul de la section d'armatures d'une semelle de fondation (EC2) ;
- Détermination des accélérations sismiques de calcul (EC8) ;
- Vérification d'un poteau en acier (EC3) ;
- Calcul de l'enrobage nominal (EC2) ;
- Calcul de la charge de neige sur une toiture à versant unique (EC1) ;
- Vérification de la résistance en flexion d'une poutre en bois (EC5).

On veillera à appliquer l'ensemble des bonnes pratiques abordées dans le précédent chapitre afin d'assurer l'ergonomie et la fiabilité de ces outils.

1. Calcul de la section d'armatures d'une semelle de fondation (EC2)

Présentation de l'outil

L'objectif de ce tableur est de calculer l'aire de la section d'armatures à mettre en œuvre dans une semelle de fondation en béton armé. Cette dernière étant soumise à une charge centrée.

La section d'armatures à calculer dépend à la fois de l'intensité de la charge, de la géométrie de la semelle (figure 7.1) ainsi que du type d'acier utilisé pour les armatures.

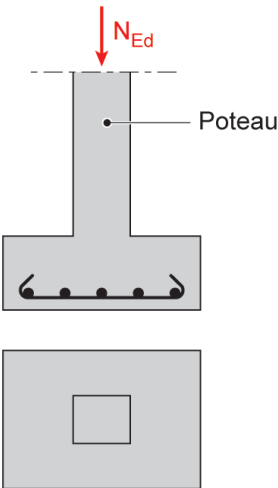


Figure 7.1
Semelle de fondation
sous charge centrée

Références normatives

Pour ce tableur, on réalise les calculs selon la norme NF EN 1992-1-1 parue en octobre 2005. Il ne sera pas fait appel à l’annexe nationale ou à un amendement quelconque.

Dans une nouvelle feuille de calcul, on commence par saisir la référence de la norme utilisée avec sa date de parution (figure 7.2).

K4									
	A	B	C	D	E	F	G	H	I
1	Semelle de fondation sous charge centrée								
2	NF EN 1992-1-1 - Octobre 2005								

Figure 7.2
Semelle de fondation – Normes utilisées

Hypothèses de calcul

Le tableur est valable uniquement pour une charge centrée. Cette hypothèse est déjà rappelée dans le titre. Aucune autre hypothèse de calcul n’a besoin d’être mentionnée.

Données d'entrée

Les données nécessaires au calcul de la section d'armatures de la semelle sont :

- la largeur de la semelle : B
- la largeur du poteau ou l'épaisseur du voile : b
- la hauteur utile : d
- la limite caractéristique d'élasticité de l'acier : f_{yk}
- le coefficient partiel relatif à l'acier : γ_s
- la valeur de calcul de l'effort normal agissant : N_{Ed}

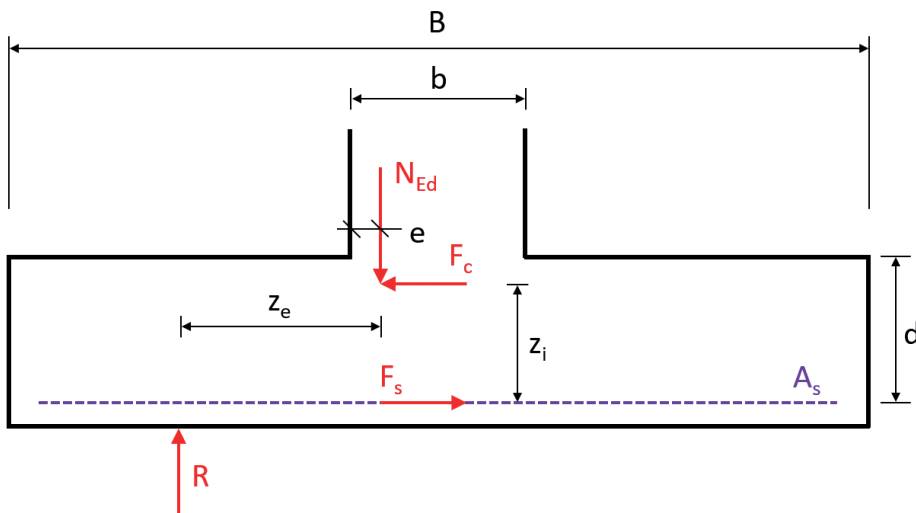


Figure 7.3

Semelle de fondation – Modèle de calcul de la section d'armatures
(Source : Figure 9.13 de la norme NF EN 1992-1-1)

Les dimensions B , b et d sont représentées sur la figure 7.3.

La limite caractéristique d'élasticité f_{yk} dépend de la nuance d'acier utilisée. Le Tableau C.1 (annexe normative C) de la norme NF EN 1992-1-1 précise que la limite caractéristique d'élasticité f_{yk} doit être comprise entre 400 et 600 MPa (tableau 7.1).

Pour des armatures de béton armé haute adhérence (HA), la nuance d'acier la plus couramment utilisée en France est B500B, ce qui correspond à une limite caractéristique d'élasticité $f_{yk} = 500$ MPa.

Le coefficient partiel γ_s dépend de la situation de projet. Celui-ci est donné dans le Tableau 2.1N de la norme (tableau 7.2).

On crée maintenant un premier tableau (figure 7.4) pour ces données d'entrée en reprenant les principes de présentation évoqués précédemment : une cellule par information (intitulé explicite, symbole, valeur, unité, référence normative).

Tableau 7.1

(Source : Tableau C.1 de la norme NF EN 1992-1-1)

Forme du produit		Barres et fils redressés			Treillis soudés			Exigence ou valeur du fractile (%)
Classe		A	B	C	A	B	C	–
Limite caractéristique d'élasticité f_{yk} ou $f_{0,2k}$ (MPa)		400 à 600						5,0
Valeur minimale de $k = (f_t / f_y)_k$		≥ 1,05	≥ 1,08	≥ 1,15 < 1,35	≥ 1,05	≥ 1,08	≥ 1,15 < 1,35	10,0
Valeur caractéristique de la déformation relative sous charge maximale, ϵ_{uk} (%)		≥ 2,5	≥ 5,0	≥ 7,5	≥ 2,5	≥ 5,0	≥ 7,5	10,0
Aptitude au pliage		Essai de pliage/dépliage			–			–
Résistance au cisaillement		–			0,25 A f_{yk} (A est l'aire du fil)			Minimum
Tolérance maximale vis-à-vis de la masse nominale (barre ou fil individuel) (%)	Dimension nominale de la barre (mm)							5,0
	≤ 8							
	> 8							

Tableau 7.2

Extrait du Tableau 2.1N de la norme NF EN 1992-1-1

Situation de projet	γ_c (béton)	γ_s (acier)
Durable et transitoire	1,50	1,15
Accidentelle	1,20	1,00

K11									
	A	B	C	D	E	F	G	H	I
4	Largeur de la semelle					B	140	cm	
5	Largeur du poteau ou épaisseur du voile					b	20	cm	Figure 9.13
6	Hauteur utile					d	32	cm	Figure 9.13
7	Limite caractéristique d'élasticité de l'acier					f_{yk}	500	MPa	Tableau C.1
8	Coefficient partiel relatif à l'acier					γ_s	1,15		Tableau 2.1N
9	Valeur de calcul de l'effort normal agissant					N_{Ed}	780	kN	

Figure 7.4

Semelle de fondation – Données d'entrée

Validation des données

Pour chaque donnée d'entrée, on définit les critères de validation (tableau 7.3).

Tableau 7.3

Semelle de fondation – Critères de validation des données

Cellule	Donnée	Critères de validation
G4	B	Nombre décimal > 0
G5	b	$0 < \text{Nombre décimal} \leq B$
G6	d	Nombre décimal > 0
G7	f_{yk}	$400 \leq \text{Nombre décimal} \leq 600$
G8	γ_s	1,15 ou 1,00
G9	N_{Ed}	Nombre décimal ≥ 0

Pour la cellule G8, on utilise une liste ; pour les autres cellules, on peut utiliser des formules.

Un message d'erreur explicite est ajouté pour chaque validation de données (tableau 7.4).

Tableau 7.4

Semelle de fondation – Implémentation des validations de données

Cellule	Donnée	Liste / Formule	Message d'erreur
G4	B	=G4>0	La largeur de la semelle ne peut pas être inférieure ou égale à 0.
G5	b	=ET(G5>0;G5<=G4)	La largeur du poteau ou du voile doit être comprise entre 0 et la largeur B de la semelle.
G6	d	=G6>0	La hauteur utile ne peut pas être inférieure ou égale à 0.
G7	f_{yk}	=ET(G7>=400;G7<=600)	La limite caractéristique d'élasticité de l'acier doit être comprise entre 400 et 600 MPa (voir Annexe C de l'EC2-1-1).
G8	γ_s	1,15;1,00	Ce coefficient partiel doit être égal à 1,15 en situation durable et transitoire ou à 1,00 en situation accidentelle.
G9	N_{Ed}	=G9>=0	La valeur de l'effort normal doit être un nombre positif.

Implémentation des calculs

La première étape du calcul consiste à déterminer les paramètres géométriques (figure 7.3) :

- l'excentricité de la charge : e
- le bras de levier des forces externes : z_e
- le bras de levier des forces internes : z_i

La règle d'application 9.8.2.2 (3) nous indique que les valeurs suivantes peuvent être utilisées pour le calcul de l'excentricité e et du bras de levier z_i :

- $e = 0,15\ b$
- $z_i = 0,9\ d$

La formule du bras de levier z_e est simplement déduite de la figure 7.3. En considérant une charge centrée, donc une réaction du sol uniforme, on a :

$$z_e = \frac{B-b}{4} + \frac{e}{2}$$

Le tableau 7.5 synthétise les formules à implémenter dans les cellules.

Tableau 7.5

Semelle de fondation – Calcul de z_e et z_i

Cellules	Formules	
G11	9.8.2.2 (3) $e = 0,15\ b$	$=0,15*G5$
G12	Figure 9.13 $z_e = \frac{B-b}{4} + \frac{e}{2}$	$=(G4-G5)/4+G11/2$
G13	9.8.2.2 (3) $z_i = 0,9\ d$	$=0,9*G6$

Le rendu dans la feuille de calcul est présenté sur la figure 7.5.

K15									
	A	B	C	D	E	F	G	H	I
11	Excentricité de la charge					e	3,0	cm	9.8.2.2 (3)
12	Bras de levier des forces externes					z_e	31,5	cm	Figure 9.13
13	Bras de levier des forces internes					z_i	28,8	cm	9.8.2.2 (3)

Figure 7.5

Semelle de fondation – Calcul de z_e et z_i

Les valeurs des bras de levier z_e et z_i désormais connues, on peut calculer la réaction du sol R ainsi que la force de traction F_s dans les armatures :

- La réaction R est calculée en considérant une charge centrée (pression du sol uniforme) et correspond à une fraction de l'effort normal agissant.

$$R = \frac{N_{Ed}}{2} - \frac{N_{Ed}}{B} \left(\frac{b}{2} - e \right)$$

- La force F_s est donnée par la formule (9.13) de la norme :

$$F_s = R \frac{z_e}{z_i} \qquad \dots(9.13)$$

Enfin, on implémente le calcul la section d'armatures A_s nécessaire pour reprendre la force de traction F_s avec les formules suivantes :

$$A_s = \frac{F_s}{f_{yd}}$$

en prenant

$$f_{yd} = \frac{f_{yk}}{\gamma_s}$$

Le tableau 7.6 synthétise les formules à implémenter dans les cellules.

Tableau 7.6
Semelle de fondation – Calcul de A_s

Cellules	Formules	
G14	<div>Figure 9.13</div> $R = \frac{N_{Ed}}{2} - \frac{N_{Ed}}{B} \left(\frac{b}{2} - e \right)$	=G9/2-G9/G4*(G5/2-G11)
G15	<div>(9.13)</div> $F_s = R \frac{z_e}{z_i}$	=G14*G12/G13
G16	$f_{yd} = \frac{f_{yk}}{\gamma_s}$	=G7/G8
G17	$A_s = \frac{F_s}{f_{yd}}$	=10*G15/G16

Le rendu dans la feuille de calcul est présenté sur la figure 7.6.

K19									
	A	B	C	D	E	F	G	H	I
14	Résultante de la pression du sol					R	351,0	kN	Figure 9.13
15	Effort de traction					F_s	383,9	kN	(9.13)
16	Limite d'élasticité de calcul de l'acier					f_{yd}	434,78	MPa	
17	Aire de la section d'armatures					A_s	8,83	cm ²	

Figure 7.6

Semelle de fondation – Calcul de A_s

La feuille de calcul est désormais fonctionnelle (figure 7.7), on va maintenant améliorer sa lisibilité et assurer son intégrité.

K19									
	A	B	C	D	E	F	G	H	I
1	Semelle de fondation sous charge centrée								
2	NF EN 1992-1-1 - Octobre 2005								
3									
4	Largeur de la semelle					B	140	cm	
5	Largeur du poteau ou épaisseur du voile					b	20	cm	Figure 9.13
6	Hauteur utile					d	32	cm	Figure 9.13
7	Limite caractéristique d'élasticité de l'acier					f_{yk}	500	MPa	Tableau C.1
8	Coefficient partiel relatif à l'acier					γ_s	1,15		Tableau 2.1N
9	Valeur de calcul de l'effort normal agissant					N_{Ed}	780	kN	
10									
11	Excentricité de la charge					e	3,0	cm	9.8.2.2 (3)
12	Bras de levier des forces externes					z_e	31,5	cm	Figure 9.13
13	Bras de levier des forces internes					z_i	28,8	cm	9.8.2.2 (3)
14	Résultante de la pression du sol					R	351,0	kN	Figure 9.13
15	Effort de traction					F_s	383,9	kN	(9.13)
16	Limite d'élasticité de calcul de l'acier					f_{yd}	434,78	MPa	
17	Aire de la section d'armatures					A_s	8,83	cm ²	

Figure 7.7

Semelle de fondation – Vue d'ensemble

Mise en page et protection

Conformément aux recommandations énoncées dans les chapitres précédents, on effectue les opérations suivantes :

- on désactive l’affichage du quadrillage ;
- on bascule sur l’affichage avec sauts de page et on définit la zone d’impression sur les colonnes A à I ;
- on protège la feuille de calcul en déverrouillant la plage de cellules G4:G9 et en autorisant uniquement la sélection des cellules déverrouillées ;
- on personnalise l’en-tête avec l’ajout de la date actuelle et d’un logo.

L’impression du tableur devrait donner un résultat similaire à celui présenté sur la figure 7.8.

07/09/2023

LEMONITEUR

Semelle de fondation sous charge centrée

NF EN 1992-1-1 - Octobre 2005

Largeur de la semelle	B	140	cm	
Largeur du poteau ou épaisseur du voile	b	20	cm	Figure 9.13
Hauteur utile	d	32	cm	Figure 9.13
Limite caractéristique d'élasticité de l'acier	f_{yk}	500	MPa	Tableau C.1
Coefficient partiel relatif à l'acier	γ_s	1,15		Tableau 2.1N
Valeur de calcul de l'effort normal agissant	N_{Ed}	780	kN	

Excentricité de la charge	e	3,0	cm	9.8.2.2 (3)
Bras de levier des forces externes	z_e	31,5	cm	Figure 9.13
Bras de levier des forces internes	z_i	28,8	cm	9.8.2.2 (3)
Résultante de la pression du sol	R	351,0	kN	Figure 9.13
Effort de traction	F_s	383,9	kN	(9.13)
Limite d'élasticité de calcul de l'acier	f_{yd}	434,78	MPa	
Aire de la section d'armatures	A_s	8,83	cm ²	

Figure 7.8

Semelle de fondation – Impression

Tests et vérifications

Afin de s’assurer de la fiabilité du tableur, on réalise les vérifications suivantes :

- pour chaque donnée d’entrée, on teste que les validations de données fonctionnent correctement en essayant de saisir des données invalides ;
- on vérifie que l’excentricité e de la charge varie proportionnellement avec la largeur b du poteau ;

Développer des outils de calcul de structures avec Excel selon les Eurocodes

Lors du **dimensionnement des structures**, les logiciels de CAO et Excel sont le plus souvent utilisés en parallèle : les premiers sont indispensables pour appréhender le comportement global de la structure étudiée et effectuer les vérifications d'usage, le second est très couramment utilisé pour réaliser des calculs plus spécifiques et valider voire confirmer certains résultats.

Il arrive régulièrement de rencontrer des tableurs Excel inutilement compliqués, difficiles d'utilisation et comportant même parfois des erreurs de syntaxe. L'objectif de cet ouvrage est de fournir un ensemble de **bonnes pratiques** et de **méthodes** permettant de créer des feuilles de calcul ergonomiques, fiables et sécurisées.

Ce guide pratique se compose de sept chapitres qui s'organisent de la façon suivante :

- Dans le premier chapitre, un rappel sur les **Eurocodes**, leur origine et leur fonctionnement sont fournis. Les parties déterminantes pour sourcer les calculs sont présentées.
- Les quatre chapitres suivants sont consacrés aux **fondamentaux d'Excel**. À travers de nombreux exemples, on y découvre le vocabulaire et la syntaxe du logiciel, des fonctionnalités essentielles, les outils de mise en forme et les graphiques ainsi qu'une introduction à la programmation VBA.

– Le sixième chapitre présente tout un ensemble de **règles de conception et de structuration** qui sont à appliquer rigoureusement afin de produire des tableurs de qualité professionnelle.

– Enfin, le dernier chapitre présente **six cas pratiques** permettant d'aborder en détail l'ensemble des bonnes pratiques énoncées : calcul de la section d'armatures d'une semelle de fondation (EC2), détermination des accélérations sismiques de calcul (EC8), vérification d'un poteau en acier (EC3), calcul de l'enrobage nominal (EC2), calcul de la charge de neige sur une toiture à versant unique (EC1) et vérification de la résistance en flexion d'une poutre en bois (EC5).

Didactique, tout en couleur, l'ouvrage fournit de nombreuses captures d'écran illustrant les manipulations. Chaque exemple présenté correspond à une nécessité de terrain.

Roman Saint-Hilaire, ingénieur diplômé de Polytech' Montpellier, est intervenu comme maître d'œuvre et ingénieur structures sur de nombreux projets de béton armé et de construction métallique pour de grandes entreprises du BTP en France et à l'international. Passionné de développement logiciel, il travaille désormais en tant que développeur web. Il a créé une application en ligne pour aider les étudiants et professionnels du BTP dans la pratique des calculs aux Eurocodes (calculs-eurocodes.com).

ISBN 978-2-281-14724-7



9 782281 147247

EDITIONS

LE MONITEUR